

МИНИСТЕРСТВО НАУКИ И ВЫСШЕГО ОБРАЗОВАНИЯ РОССИЙСКОЙ ФЕДЕРАЦИИ
ФЕДЕРАЛЬНОЕ ГОСУДАРСТВЕННОЕ АВТОНОМНОЕ ОБРАЗОВАТЕЛЬНОЕ УЧРЕЖДЕНИЕ
ВЫСШЕГО ОБРАЗОВАНИЯ
«НАЦИОНАЛЬНЫЙ ИССЛЕДОВАТЕЛЬСКИЙ ЯДЕРНЫЙ УНИВЕРСИТЕТ «МИФИ»

УДК 530.182

ОТЧЕТ
О НАУЧНО-ИССЛЕДОВАТЕЛЬСКОЙ РАБОТЕ
СОЛИТОННЫЕ РЕШЕНИЯ В СИСТЕМАХ С
ОДНИМ И НЕСКОЛЬКИМИ
СКАЛЯРНЫМИ ПОЛЯМИ

Научный руководитель

_____ В.А.Гани

Студент

_____ С.Д.Франк-Каменецкая

Москва 2024

CONTENTS

1	Введение	3
2	Случай одного скалярного поля	3
2.1	Кинки	3
2.2	Потенциал Двойной-синус-Гордон	4
2.3	Потенциал ϕ^4	6
3	Случай нескольких скалярных полей	7
3.1	Общие сведения	7
3.2	Метод пробных орбит	7
3.3	Метод пробных орбит для BPS-конфигурации	9
4	Заключение	11
	Список использованных источников	11

1. ВВЕДЕНИЕ

Солитоны были экспериментально обнаружены еще в 19ом веке, как структурно устойчивый вид волны, распространяющийся на поверхности воды[0]. В настоящее время солитоны были обнаружены во многих областях, помимо гидродинамики.[0] Например, в рамках космологических моделей доменные стенки (полевые конфигурации с кинковой структурой в направлении перпендикулярном плоскости стенки) могут возникать в ранней Вселенной при спонтанном нарушении дискретной симметрии [0][0][i]. Кинковое решение нелинейного уравнения Клейна–Гордона является примером топологического солитона, устойчивость которого обеспечивается его топологической нетривиальностью[0].

Основной целью научно исследовательской работы в данном семестре являлось ознакомление с кинковыми решениями и моделями, в которых они могут возникать: модели с одним полем и с Z_2 симметрией (потенциал ϕ^4), модели с двумя и более полями, в которых возможно образование доменных стенок с внутренней структурой и т.д.; а также изучить методы получения таких решений.

2. СЛУЧАЙ ОДНОГО СКАЛЯРНОГО ПОЛЯ

2.1 Кинки

Простейший кинк — топологический солитон, возникающий в модели с одним действительным скалярным полем в $(1+1)$ -мерном пространстве-времени. Рассматривается скалярное поле , динамика которого задается лоренц-

инвариантной плотностью лагранжиана

$$\mathcal{L} = \frac{1}{2} \left(\frac{\partial \phi}{\partial t} \right)^2 - \frac{1}{2} \left(\frac{\partial \phi}{\partial x} \right)^2 - V(\phi), \quad (1)$$

Функция $V(\phi)$ называется потенциалом данной модели. Из лагранжиана (1) получается уравнение движения

$$\square \phi = -\frac{dV}{d\phi} \quad (2)$$

и функционал полной энергии

$$E[\phi(x, t)] = \int_{-\infty}^{+\infty} \left(\frac{1}{2} \phi_x^2 + \frac{1}{2} \phi_t^2 + V(\phi) \right) dx \quad (3)$$

2.2 Потенциал Двойной-синус-Гордон

Рассмотрим процесс получения кинкового решения для потенциала Двойной-синус-Гордон[0]:

$$V(\phi) = \tanh^2 R (1 - \cos \phi) + \frac{4}{\cosh^2 R} \left(1 + \cos \frac{\phi}{2} \right), \quad (4)$$

где $R \in [0, +\infty]$. Потенциал (4) — периодический, неотрицательный и имеет бесконечное число вырожденных минимумов (вакуумов) в точках $\phi = \pm 2\pi n$, $n \in \mathbb{N}$. В статическом случае уравнение движения (уравнение Эйлера-Лагранжа) имеет следующий вид:

$$\phi_{xx} = \frac{dV(\phi)}{d\phi}. \quad (5)$$

С учетом того, что мы ищем кинковое решение, соединяющее соседние минимумы потенциала, можно понизить порядок дифференциального уравнения (5):

$$\frac{1}{2} \phi_x^2 = V(\phi). \quad (6)$$

Его кинковое решение имеет вид:

$$\phi_n(x) = 4\pi n \pm \arctan \left(\frac{\sinh(x - x_0)}{\cosh R} \right), \quad (7)$$

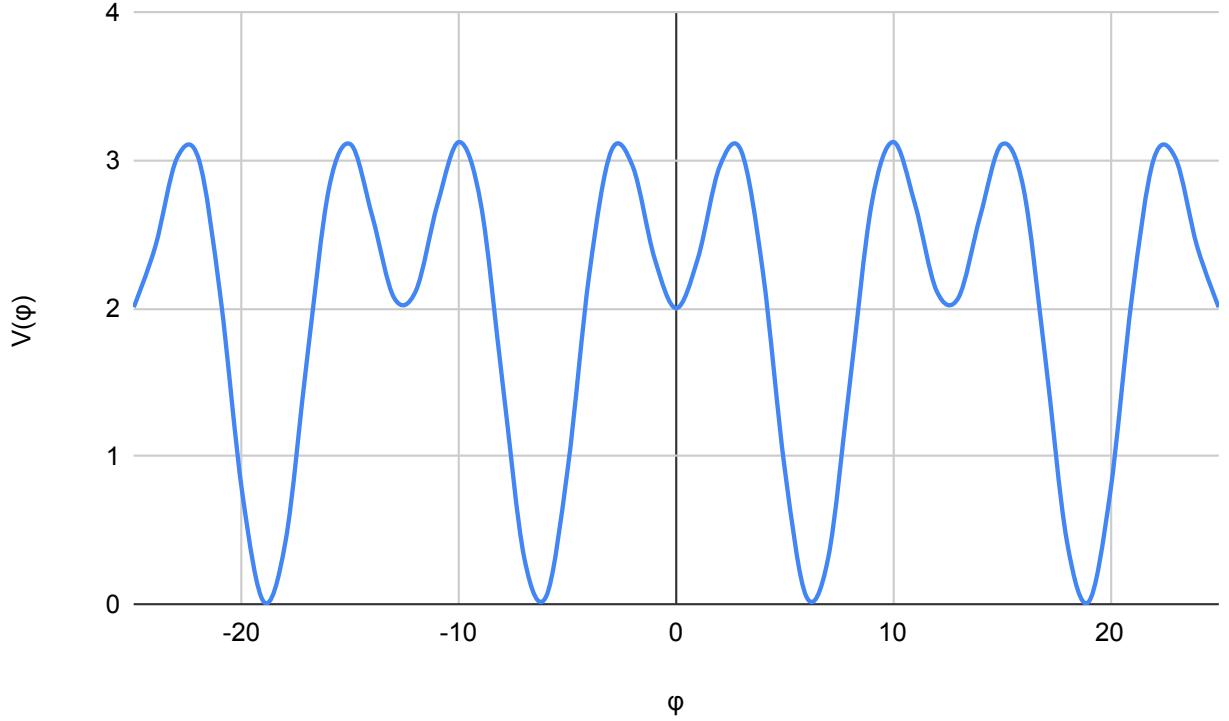


Рисунок 1 — Потенциал Двойной-синус-Гордон при $R=1$.

где x_0 — постоянная интегрирования, определяющая положение кинка на оси X . Формула (7) дает и кинк (знак “+”), и антикинк (знак “−”).

При увеличении параметра R можно наблюдать, как кинк «расщепляется» на 2 «субкинка». Энергия статического решения (7) (т.е. его масса) равна

$$E = \int_{-\infty}^{+\infty} \left(\frac{1}{2} \phi_x^2 + V(\phi) \right) dx = 16 \left(1 + \frac{2R}{\sinh(2R)} \right). \quad (8)$$

Для получения выражения для движущегося кинка, в силу Лоренц-инвариантности рассматриваемой модели, нужно применить преобразование Лоренца к статическому кинку. Например в случае кинка модели двойной-синус-Гордон будет

$$\phi_n(x, t) = 4\pi n \pm \arctan \left(\frac{1}{\cosh(R)} \sinh \left(\frac{(x - x_0) - vt}{\sqrt{1 - v^2}} \right) \right), \quad (9)$$

где $v \in (-1; 1)$ в планковской системе единиц.

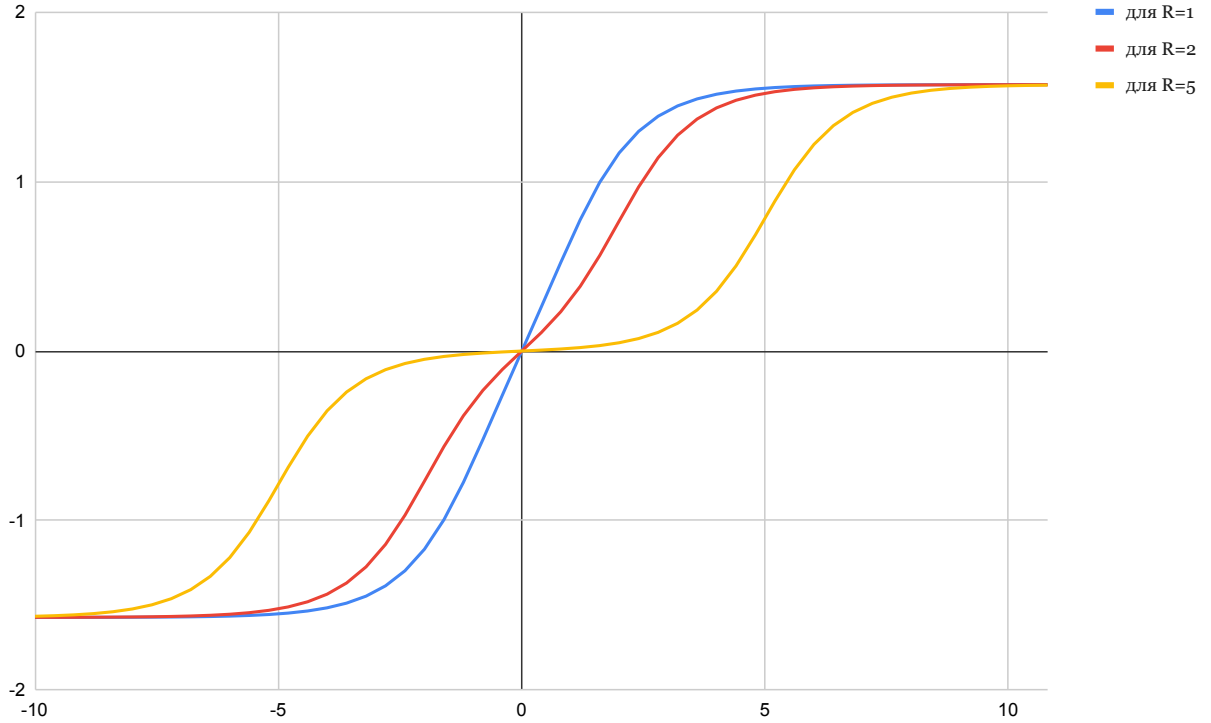


Рисунок 2 — Кинк модели двойной синус-Гордон при разных значениях параметра R .

2.3 Потенциал ϕ^4

Было получено кинковое решение для потенциала ϕ^4 - также неотрицательного потенциала с двумя вырожденными минимумами $\phi = \pm 1$:

$$V(\phi) = \frac{1}{2} (1 - \phi^2)^2. \quad (10)$$

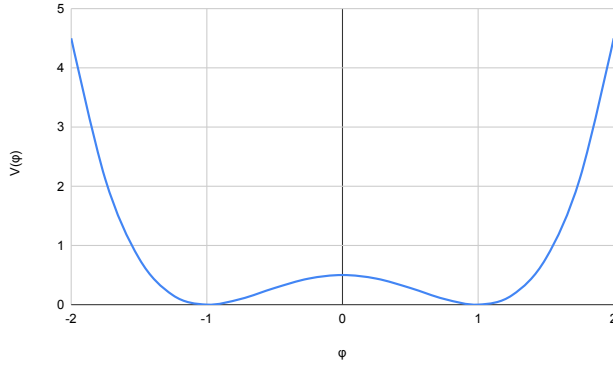
Аналогично случаю потенциала Двойной-синус-Гордона после понижения степени уравнения движения получаем:

$$\frac{1}{2} \phi_x^2 = V(\phi); \quad (11)$$

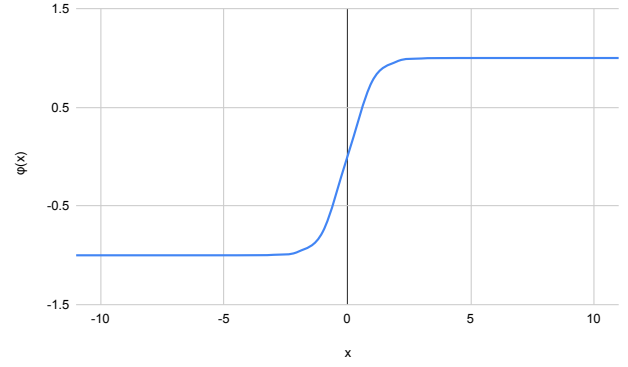
Из (11):

$$\phi = \tanh(x - x_0). \quad (12)$$

где x_0 — константа интегрирования.



(a) Потенциал ϕ^4



(b) Кинковое решение для потенциала ϕ^4

Рисунок 3 — Иллюстрации к разделу 2.3

3. СЛУЧАЙ НЕСКОЛЬКИХ СКАЛЯРНЫХ ПОЛЕЙ

3.1 Общие сведения

Следующий этап исследовательской работы заключался в обобщении случая одного скалярного действительного поля на N полей. Плотность лагранжиана для такой системы:

$$\mathcal{L} = \sum_i \frac{1}{2} \left(\frac{\partial \phi_i}{\partial t} \right)^2 - \sum_i \frac{1}{2} \left(\frac{\partial \phi_i}{\partial x} \right)^2 - V(\phi_1, \dots, \phi_n), \quad (13)$$

Полевые уравнения имеют вид:

$$\square \phi_i = -\frac{\partial V}{\partial \phi_i}. \quad (14)$$

3.2 Метод пробных орбит

Для поиска решений уравнений поля был изучен, освоен и применен метод пробных орбит. Он состоит из двух этапов: 1) поиска орбиты — одномерной

кривой, определяемой $N - 1$ соотношением между N координатами и 2) поиска зависимостей $\{\phi_i(x)\}$, соответствующих движению вдоль этой орбиты.

Орбиты могут быть трех типов (в отличие от случая одного поля, где орбита может быть представлена только отрезком):

- тип А: Движение из одного минимума в другой
- тип В: Движение из минимума Р к минимуму Q с последующим возвращением Р
- тип С: Движение начинается и завершается движение в одном и том же минимуме

Топологическим солитонам соответствует только первый тип. Метод был применен к

$$V(\phi, \chi) = \frac{1}{4}(1 - \phi^2)^2 + \frac{1}{2}m^2\chi^2 + \frac{1}{4}\lambda\chi^4 + \frac{1}{2}\chi^2(\phi - 1) \quad (15)$$

Данный неотрицательный потенциал имеет два вырожденных минимума — в точках $(\pm 1; 0)$. В качестве орбиты было выбрано

$$F(\phi, \chi) = \chi^n + a(\phi^2 - 1) = 0 \quad (16)$$

- множество кривых, соединяющих точки $(\pm \frac{M}{\sqrt{\lambda}}; 0)$ на плоскости (ϕ, χ) . При дифференцировании орбиты получается

$$\frac{dF(\phi, \chi)}{dx} = F_\phi \phi_x + F_\chi \chi_x = 0; \quad (17)$$

Откуда из () и ():

$$(F_\phi)^2 \left(\int_1^\phi \frac{\partial V(\phi, \chi)}{\partial \phi} d\phi_1 + C_1 \right) = (F_\chi)^2 \left(\int_0^\chi \frac{\partial V(\phi, \chi)}{\partial \chi} d\chi_1 + C_2 \right) \quad (18)$$

Постоянные интегрирования $C_1 = 0, C_2 = 0$, так как нижним пределом интегрирования в выражении () имеют абсолютные минимумы, где $\phi_x = 0, \chi_x = 0$. Из равенства (18) получается, что уравнение имеет решения при

$n=2$ и $a = \frac{1-2m^2}{d}$ или $n=1$, $a = \frac{d-3}{2d}$. Тогда, подставляя уравнение орбиты в (15), задача сводится к двум одномерным аналогичным тем, что были получены ранее. В том числе для потенциала (15) были получены решения для $n=2$:

$$\phi(x) = \tanh(m(x - x_0)); \quad (19)$$

$$\chi(x) = \sqrt{\frac{1-2m^2}{d}} \frac{1}{\operatorname{ch}(m(x - x_0))}; \quad (20)$$

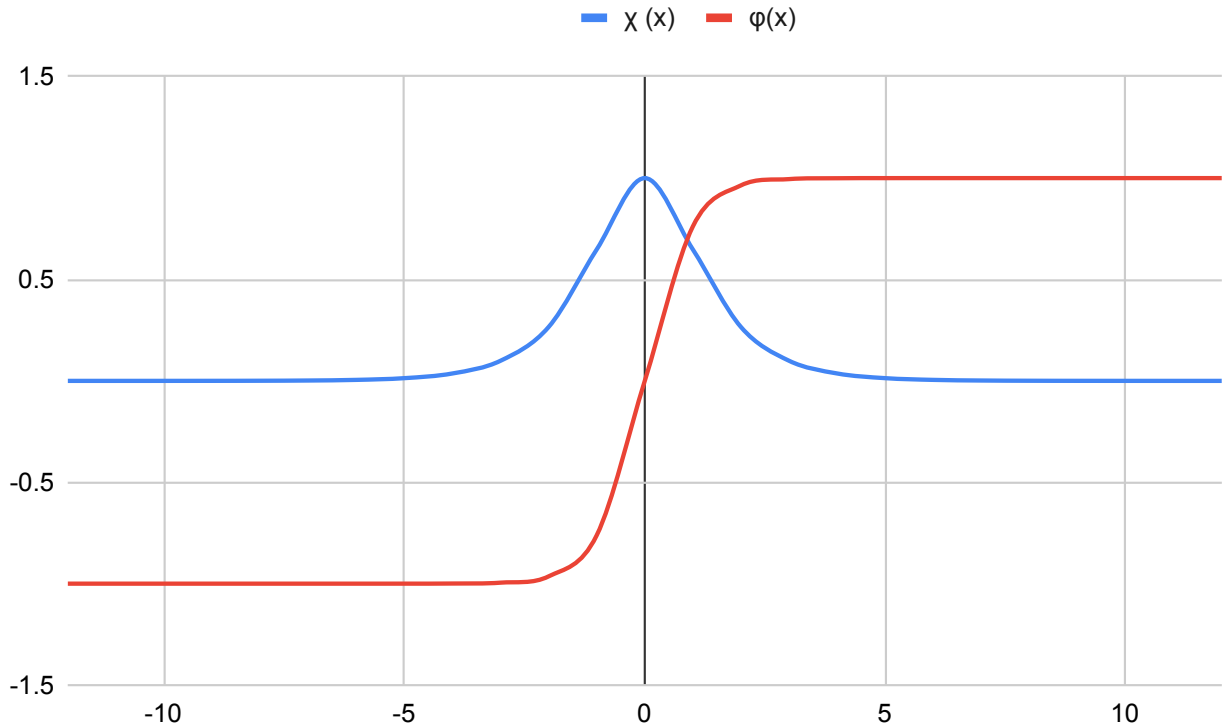


Рисунок 4 — Потенциал Двойной-синус-Гордон при $R=1$.

3.3 Метод пробных орбит для BPS-конфигурации

Снова рассматривается система с плотностью лагранжиана:

$$\mathcal{L} = - \sum_{i=1}^2 \frac{1}{2} \left(\frac{\partial \phi_i}{\partial x} \right)^2 + \sum_{i=1}^2 \frac{1}{2} \left(\frac{\partial \phi_i}{\partial t} \right)^2 - V(\phi_1, \phi_2) \quad (21)$$

Где $V(\phi_1, \phi_2)$ – представим через частные производные «суперпотенциала»[0] W :

$$V(\phi, \chi) = \frac{1}{2}(W_\phi)^2 + \frac{1}{2}(W_\chi)^2 \quad (22)$$

(Для удобства $\phi_1 = \phi; \phi_2 = \chi$)

Уравнения Эйлера-Лагранжа:

$$\begin{cases} \phi_{xx} = V_\phi \\ \chi_{xx} = V_\chi \end{cases} \quad (23)$$

Их можно свести к системе ОДУ, называемой уравнениями Богомольного-Прасада-Зоммерфельда (BPS)[0]:

$$\begin{cases} \phi_x = W_\phi \\ \chi_x = w_\chi \end{cases} \quad (24)$$

Конфигурации удовлетворяющие этим уравнениям называют BPS-конфигурациями.

Их характерной особенностью является минимизация полной энергии до $E_{BPS} = \Delta E_{ij} = W(\phi(+\infty), \chi(+\infty)) - W(\phi(-\infty), \chi(-\infty)) \neq 0$. При существовании у потенциала более двух минимумов, каждая их пара (i, j) образует топологический сектор[0], который является BPS-сектором при условии $W(\phi_i, \chi_i) \neq W(\phi_j, \chi_j)$. Таким образом, метод пробных орбит в случае BPS-конфигураций состоит из трех шагов:

- Выбирается пара минимумов потенциала $V(\phi, \chi)$ (стационарных точек $W(\phi, \chi)$), образующих БПС сектор
- выбирается траектория (орбита типа А), проходящая через выбранны минимумы
- проверяется удовлетворяет ли данная орбита дифференциальным уравнениям первого порядка

После чего интегрированием уравнений Богомольного-Прасада-Зоммерфельда получают решения $\phi(x), \chi(x)$.

4. ЗАКЛЮЧЕНИЕ

Решения солитонного вида встречаются во всех областях физики от космологии до гидродинамики, поэтому изучение методов получения решений подобного вида и их свойств может крайне актуально. В ходе исследовательской научной работы была изучена литература, о солитонах в системах с одним и несколькими скалярными полями и их свойствах, а также изучен метод пробных орбит в общем случае, его применение к BPS-конфигурациям. Были получены точные решения и исследована эволюция кинка для модели Двойного синус Гордона, модели ϕ^4 , также модели с двумя скалярными полями, возникающей в гибридной модели инфляции.

СПИСОК ИСПОЛЬЗОВАННЫХ ИСТОЧНИКОВ

0. *Nicholas Manton P. S.* Topological Solitons // Cambridge University Press. — 2004. — Vol. 519. — DOI: <https://doi.org/10.1017/CB09780511617034>.
0. *V.A. R.* Классические калибровочные территории: бозонные поля. — КомКнига, 2005.
0. *Vachapati T.* Kins and Domain Walls. — Case Western Reserve University, Ohio, 2006.
0. *F. J. Buijnsters A. Fasolino M. I. K.* Motion of domain walls and the dynamics of kinks in the magnetic Peierls potential // Phys. RevLett. 113, 217202. — 0214.
0. *Rajaraman R.* Solitons ansnstantons. — North Holland Publishing company, 1982.
0. *V. A. Gani A. E. K.* Kink-antikink interactions in the double sine-Gordon equation and the problem of resonance frequencies // Phys. Rev. E 60, 3305 — Published 1 September. — 1999.
0. *Bazeia D.* Topological defects and the trial orbit method // Mod.Phys.Lett. A17 (2002) 1945. — 2002.
0. *Богомольный Е. Б.* Устойчивость классических решений // Sov.J.Nucl.Phys. 24 (1976) 449, Yad.Fiz. 24 (1976) 861-870. — 1975.